

## 論文

UDC 669.141.17 : 669.181.428 : 669.162.282 : 669.046.464 : 546-31

# Al<sub>2</sub>O<sub>3</sub>, CaO, MgO を含むマグネタイトおよびウスタイトの還元によつて生成する還元鉄の気孔径分布\*

井口義章\*\*・井上道雄\*\*

Pore Radius Distribution of Iron Reduced from Magnetite and Wustite Containing Al<sub>2</sub>O<sub>3</sub>, CaO or MgO

Yoshiaki IGUCHI and Michio INOUYE

## Synopsis:

The pore-radius distributions in the reduced iron from magnetite and wustite containing several foreign oxides were measured by the mercury penetration method, and the cross sections of the wustite grains in the partially reduced samples were observed.

The following results were obtained.

(1) Wustite grains reduced from magnetite containing Al<sub>2</sub>O<sub>3</sub> are reduced nontopochemically and the micro pores are formed in the reduced iron. However, this behavior is not observed when the wustite as a starting material contains Al<sub>2</sub>O<sub>3</sub>.

(2) Wustite grains which are reduced from magnetite and wustite containing CaO are reduced non-topochemically and the pore radius becomes larger with increasing the quantities of CaO.

(3) Wustite grains containing MgO are reduced topochemically as in the case of pure wustite grains and the addition of MgO gives little effect to the pore-radius of reduced iron.

(4) It is concluded that those effects of Al<sub>2</sub>O<sub>3</sub> and also CaO can be found when the compounds of the foreign oxides with iron oxides are precipitated in wustite during the reduction.

## 1. 緒 言

酸化鉄と共に存在する酸化物がそれからの還元鉄の性状に及ぼす影響については、わずかに Al<sub>2</sub>O<sub>3</sub>, TiO<sub>2</sub><sup>1)</sup> が天然鉱石中に細かく分散して入つていれば、還元鉄の気孔が小さくなり、また Cr<sub>2</sub>O<sub>3</sub>, Al<sub>2</sub>O<sub>3</sub> が還元鉄の触媒活性<sup>2)</sup>を増すことが知られているに過ぎない。その作用機構については、これまでほとんど研究されていない。

このような中にあつて CaO については、その製鉄における重要性のため還元の速度、過程についてかなり詳細に研究されているが、焼結鉱、自溶性ペレットのヘマタイトを出発物質とするものか、溶融法によって製造した緻密なウスタイト<sup>3)4)5)</sup>を試料としている。

実際に鉄鉱石、焼結鉱、ペレットを還元するときには、中間生成物であるウスタイト粒はかなり細かく、ウスタイトの還元による金属鉄の核生成、核の成長、すなわち金属鉄の生成状況などその還元経過は緻密な大きなウスタイト粒のそれとはかなり異なるので、マグネタイト、ウスタイトに対する添加酸化物の影響をみるには、粉体の酸化鉄を対象とするのが適切と考えられる。

前報<sup>6)</sup>において、ヘマタイトを出発物質として添加酸化物が還元鉄の気孔径分布に及ぼす影響について述べたが、前報の結果を確認し、さらに添加酸化物の作用機構を解明するためには、マグネタイト、ウスタイトを出発物質として、それからの還元鉄の気孔径分布に及ぼす添加酸化物の影響について研究する必要がある。

そこで、本研究では粉体のマグネタイト、ウスタイトを出発物質とし、これに Al<sub>2</sub>O<sub>3</sub>, CaO あるいは MgO を添加したものを焼成した試料を還元し、ウスタイト粒の還元経過を調べ、還元鉄の気孔径分布を測定した。

## 2. マグネタイトからの還元鉄の気孔径分布に及ぼす Al<sub>2</sub>O<sub>3</sub>, CaO 添加の影響

### 2.1 試料および実験方法

前報<sup>6)</sup>の研究で使用した Fe<sub>2</sub>O<sub>3</sub> を 90%CO<sub>2</sub>-10%CO 混合ガスで還元した Fe<sub>3</sub>O<sub>4</sub> を使用した。200 mesh 以下の Fe<sub>3</sub>O<sub>4</sub> に (鉄原子の数と添加酸化物の原子の数の割合が 2.5, 5.0 mol%Al<sub>2</sub>O<sub>3</sub> あるいは CaO-Fe<sub>2</sub>O<sub>3</sub> に相当する) 3.7 mol%, 7.3 mol% の Al<sub>2</sub>O<sub>3</sub> あるいは CaO を加え、乳鉢中で約 30 min 混合粉碎し、水造粒したも

\* 昭和53年2月9日受付 (Received Feb. 9, 1978)

\*\* 名古屋大学工学部 工博 (Faculty of Metallurgy, Nagoya University, Furo-cho Chikusa-ku Nagoya 464)

のを乾燥し 1000°C で 95%CO<sub>2</sub>-5%CO 混合ガスで 20 h 焼成した。試料重量は 1.40~1.61 g で半径は 0.44~0.47 cm である。

このようにして製造した試料のマグネットの格子定

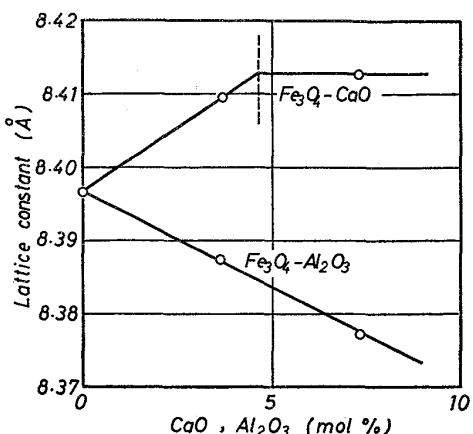


Fig. 1. Lattice constants of magnetite and magnetite containing CaO or Al<sub>2</sub>O<sub>3</sub>. The dotted line shows the solubility limit of CaO in magnetite.

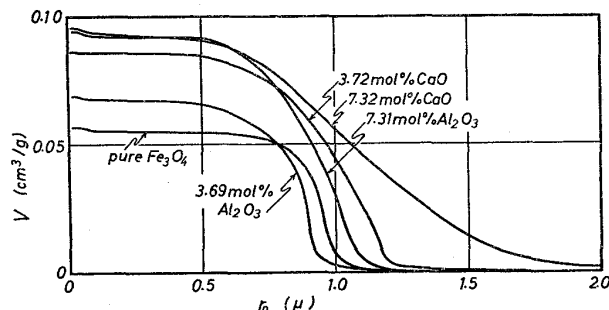


Fig. 2. Pore-radius distribution of magnetite and magnetite containing foreign oxides.

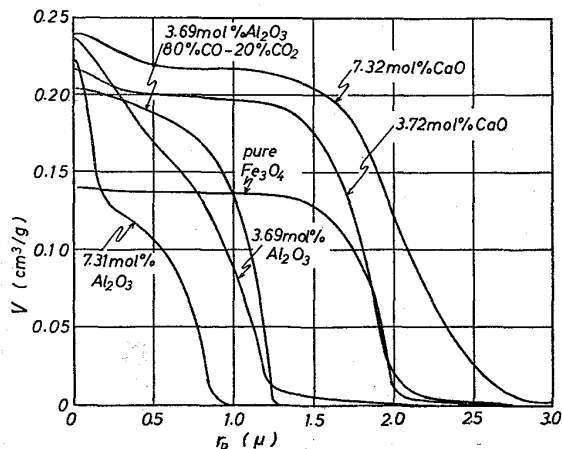


Fig. 3. Effects of Al<sub>2</sub>O<sub>3</sub> and CaO on the pore-radius distributions of reduced (at 795°C by H<sub>2</sub>) iron from magnetite. One sample of magnetite containing 3.69 mol% Al<sub>2</sub>O<sub>3</sub> was reduced by 80%CO-20%CO<sub>2</sub>.

数を Fig. 1 に示した。Fe<sub>3</sub>O<sub>4</sub>-Al<sub>2</sub>O<sub>3</sub> 系試料の格子定数は添加量とともに直線的に小さくなり、Fe<sub>3</sub>O<sub>4</sub>-CaO 系試料のそれは途中に屈曲点を生じ、図中に破線で示した濃度で飽和に達していることを意味する。この飽和濃度は BERGGREN<sup>7)</sup> による結果とほぼ一致している。

これらの試料を 795°C で H<sub>2</sub> あるいは 80%CO-20%CO<sub>2</sub> 混合ガスにより、また 985°C で H<sub>2</sub> あるいは 95%CO-5%CO<sub>2</sub> 混合ガスにより還元した。気孔径分布は水銀圧入法で 1000 atm まで測定し、顕微鏡写真は部分還元した試料の切断面を油浸下で 750 倍で撮影した。

## 2.2 気孔径分布の測定結果

還元前試料および還元鉄の気孔径分布を Fig. 2~5 に示した。還元前の試料中の気孔の半径は 0.8 から 1.5 μ の間にあり、添加酸化物の量が増すとともに気孔径も大きくなり、CaO を添加した試料の方が Al<sub>2</sub>O<sub>3</sub> を添加し

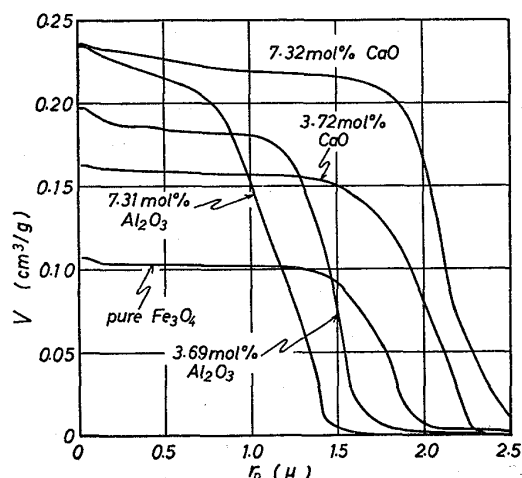


Fig. 4. Effects of Al<sub>2</sub>O<sub>3</sub> and CaO on the pore-radius distributions of reduced (at 985°C by H<sub>2</sub>) iron from magnetite.

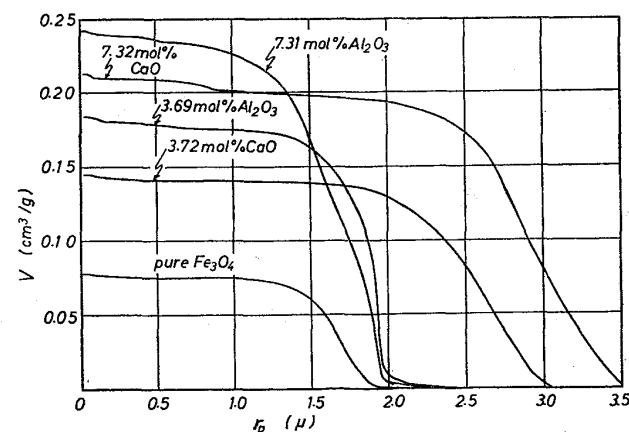


Fig. 5. Effects of Al<sub>2</sub>O<sub>3</sub> and CaO on the pore-radius distributions of reduced (at 985°C by 95% CO-5%CO<sub>2</sub>) iron from magnetite.

た試料より気孔径が若干大きい。

795°Cで還元した鉄の気孔径分布(Fig. 3)と添加酸化物の種類と量の関係をみれば、 $\text{Al}_2\text{O}_3$ 量の増加とともに気孔径が小さくなるのに対して、 $\text{CaO}$ 量の増加とともに気孔径が大きくなる。また還元鉄の気孔容積はどちらの酸化物を添加したときもほぼ等しく、pure  $\text{Fe}_3\text{O}_4$ からの還元鉄のそれよりかなり大きい。

$\text{Al}_2\text{O}_3$ を固溶したマグネタイトからの還元鉄は、 $\text{Al}_2\text{O}_3$ を固溶したヘマタイトからの還元鉄と同じくⅡ型\*の気孔径分布(前報<sup>6</sup>参照)をとる。 $\text{CaO}$ を固溶したマグネタイトからの還元鉄は、 $\text{CaO}$ を添加したヘマタイトからのそれと同様にⅠ型の気孔径分布をとるが、半径0.1~0.5μの微細な気孔もわずかに存在する。

なお3.69 mol%  $\text{Al}_2\text{O}_3$ を固溶したマグネタイトを80%CO-20%CO<sub>2</sub>混合ガスで還元した鉄はⅠ型の気孔径分布を示し、H<sub>2</sub>で還元した鉄にみられた $r_{m1}$ に相当する径の小さい気孔が非常に減少している。

985°Cで還元した鉄の気孔径分布(Fig. 4, 5)によれば、すべてⅠ型の気孔径分布となり固溶した $\text{Al}_2\text{O}_3$ 量の増加とともに気孔径がやや小さくなるのに対して固溶した $\text{CaO}$ 量が増加しても気孔径はほとんど変化しない。また95%CO-5%CO<sub>2</sub>混合ガスで還元した鉄の方がやや気孔径が大きい。

### 2・3 気孔生成過程の顕微鏡観察

795°CでH<sub>2</sub>により部分還元した試料の断面組織のなかでウスタイト粒の還元過程の顕微鏡写真をPhoto. 1~3に示した。pure  $\text{Fe}_3\text{O}_4$ 試料、7.3 mol%  $\text{Al}_2\text{O}_3$ 、7.3 mol%  $\text{CaO}$ を固溶したマグネタイト試料からのウスタ

\*  $\frac{dV}{dr}$ が1つの気孔半径 $r_m$ で極大値をとる気孔径分布をⅠ型、2つの気孔半径 $r_{m1}$ ,  $r_{m2}$ ( $r_{m1} < r_{m2}$ )で極大値をとる気孔径分布をⅡ型と称することにする。

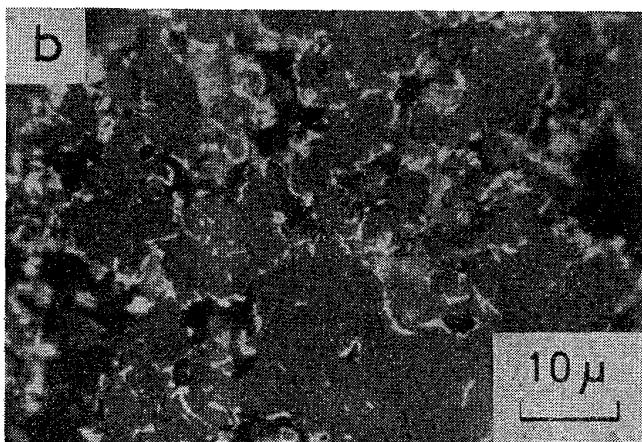
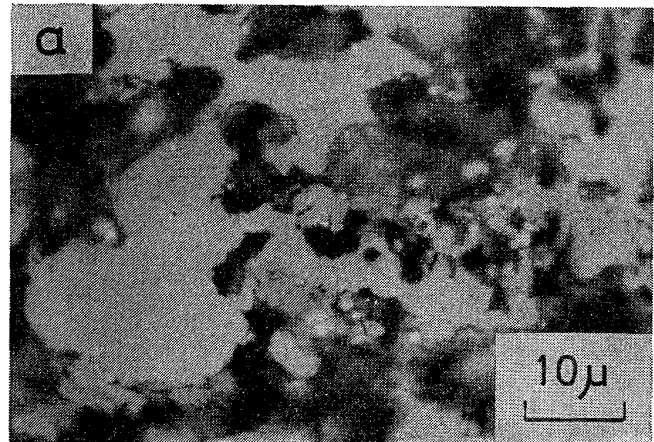


Photo. 1. Cross sections of partially reduced pure magnetite at 795°C by H<sub>2</sub>. (Reduction degree: 35%) (a) Wustite (b) Wustite and metallic iron shell.

イトの組織(Photo. 1~3-a)には大きさ、形状の差がほとんどみられない。

金属鉄が生成し始めた段階の組織(Photo. 1~3-b)によれば、pure  $\text{Fe}_3\text{O}_4$ からのウスタイト粒はその表面に薄い金属鉄の殻が生成されるとそれ以上還元が進行しにくいか、 $\text{Al}_2\text{O}_3$ あるいは $\text{CaO}$ を固溶したマグネタイトからのウスタイト粒はいずれも表面から均等に還元されるのでなく、表面のいくつかの所で還元が始まればそこから内部へ向つての還元が他の表面での還元に優先して起こる。そして生成した金属鉄粒の内部に多くの片状\*\*の気孔がみられる。

この段階までは $\text{Al}_2\text{O}_3$ を固溶したマグネタイト試料と $\text{CaO}$ を固溶したマグネタイト試料から生成した金属鉄には差がない。しかしさらに還元が進んだ段階(Photo. 2, 3-c)では $\text{Al}_2\text{O}_3$ を固溶した試料においては片状気孔の所で還元によって生成した金属鉄粒は分離し、その際ウスタイト段階で存在していた気孔の空間が狭められるのに対して、 $\text{CaO}$ を固溶した試料では片状気孔の所で金属鉄粒は分離せずウスタイト段階で存在していた気孔はそのまま存在する。そのため還元鉄の気孔表面は凹凸が激しく乱れている( $\text{Al}_2\text{O}_3$ )のと滑らか( $\text{CaO}$ )のと対照的である。

顕微鏡による組織観察結果と気孔径分布はよい一致がみられる。すなわち $\text{CaO}$ を固溶したマグネタイトからの還元鉄中にも径の小さい(半径0.1~0.5μ)気孔が存在する(Fig. 3)が、これは金属鉄中に観察される片状気孔に対応する。また $\text{Al}_2\text{O}_3$ を固溶したマグネタイトの還元によって生成したウスタイトが還元されるとき、金属鉄中の片状気孔の所で金属鉄粒が分離しウスタイト

\*\*ある断面で線状に見えるので3次元的にはある幅を持つた面を成していると考えられる。以後片状気孔と称する。

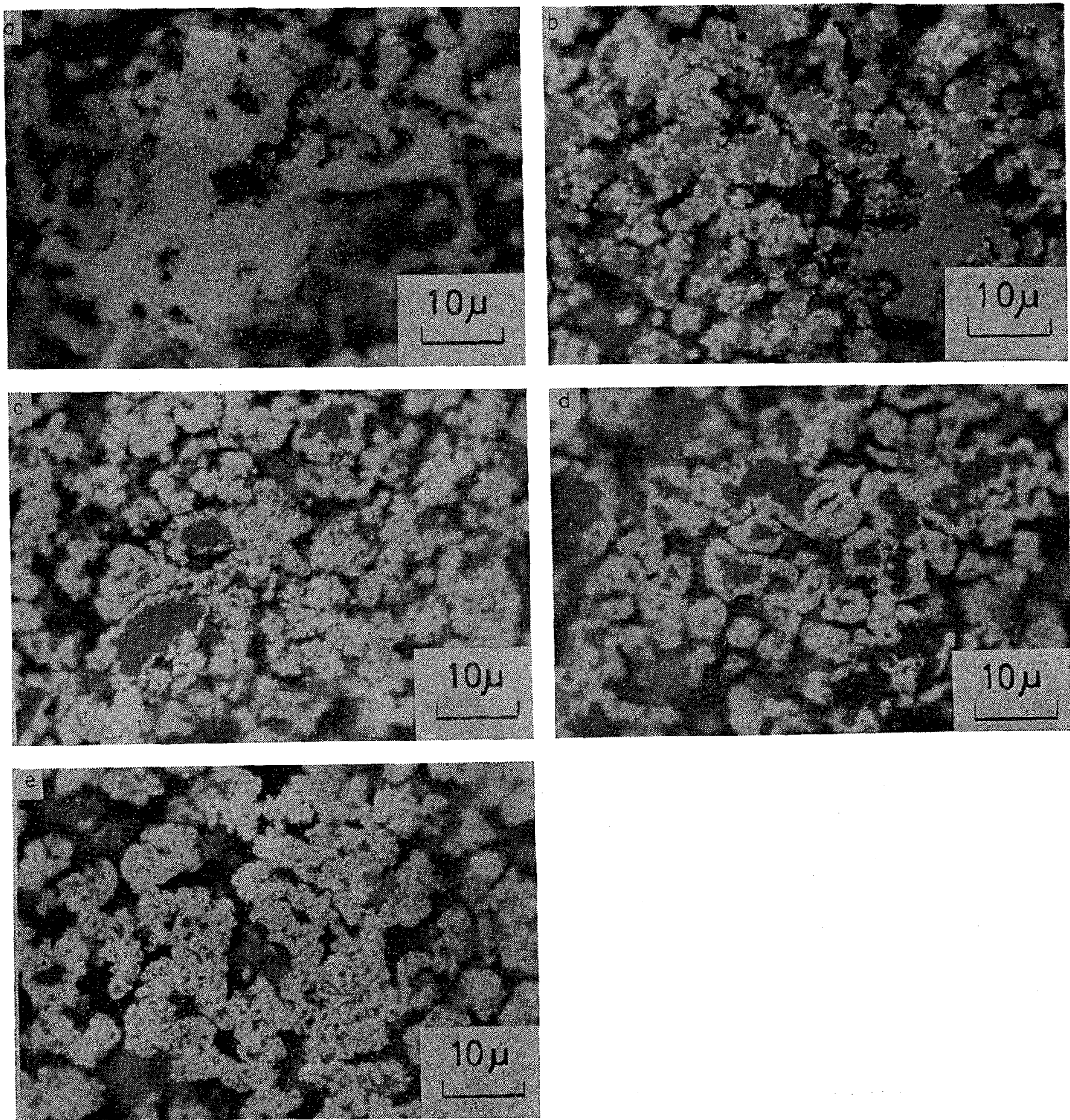


Photo. 2. Cross sections of partially reduced magnetite containing 7.3 mol%  $\text{Al}_2\text{O}_3$ , (a)-(c) reduced at 795°C by  $\text{H}_2$  (Reduction degree : 42 %) : (a) wustite (b) wustite and metallic iron (c) metallic iron, (d) reduced at 985°C by  $\text{H}_2$  (Reduction degree : 33%), showing wustite and metallic iron, (e) reduced at 985°C by 95%  $\text{CO}-5\%$   $\text{CO}_2$  (Reduction degree : 32%), showing wustite and metallic iron.

段階で存在していた気孔空間が狭められるが、このことは  $r_{m2}$  ( $\text{Al}_2\text{O}_3$  を固溶したマグネットイトの 795°C,  $\text{H}_2$  還元) も  $\text{Al}_2\text{O}_3$  量とともに小さくなっている気孔径分布の測定結果 (Fig. 3) と一致する。

985°C で  $\text{H}_2$  により部分還元した試料断面の組織写真 (Photo. 2, 3-d) によれば  $\text{Al}_2\text{O}_3$  を固溶した試料からのウスタイトと金属鉄中に非常に小さい析出物がみら

れること、ウスタイトから生成した金属鉄中には 795°C で還元したものにみられた片状気孔がみられないこと、したがつて還元鉄中にも径の小さい気孔が存在しない (気孔径分布の測定結果 (Fig. 4) と一致する) こと、 $\text{Al}_2\text{O}_3$  あるいは  $\text{CaO}$  を固溶したマグネットイト試料からのウスタイトも純粋なマグネットイトからのそれと同様に全表面からほぼ均等に還元が進行するのが特徴的な現象と

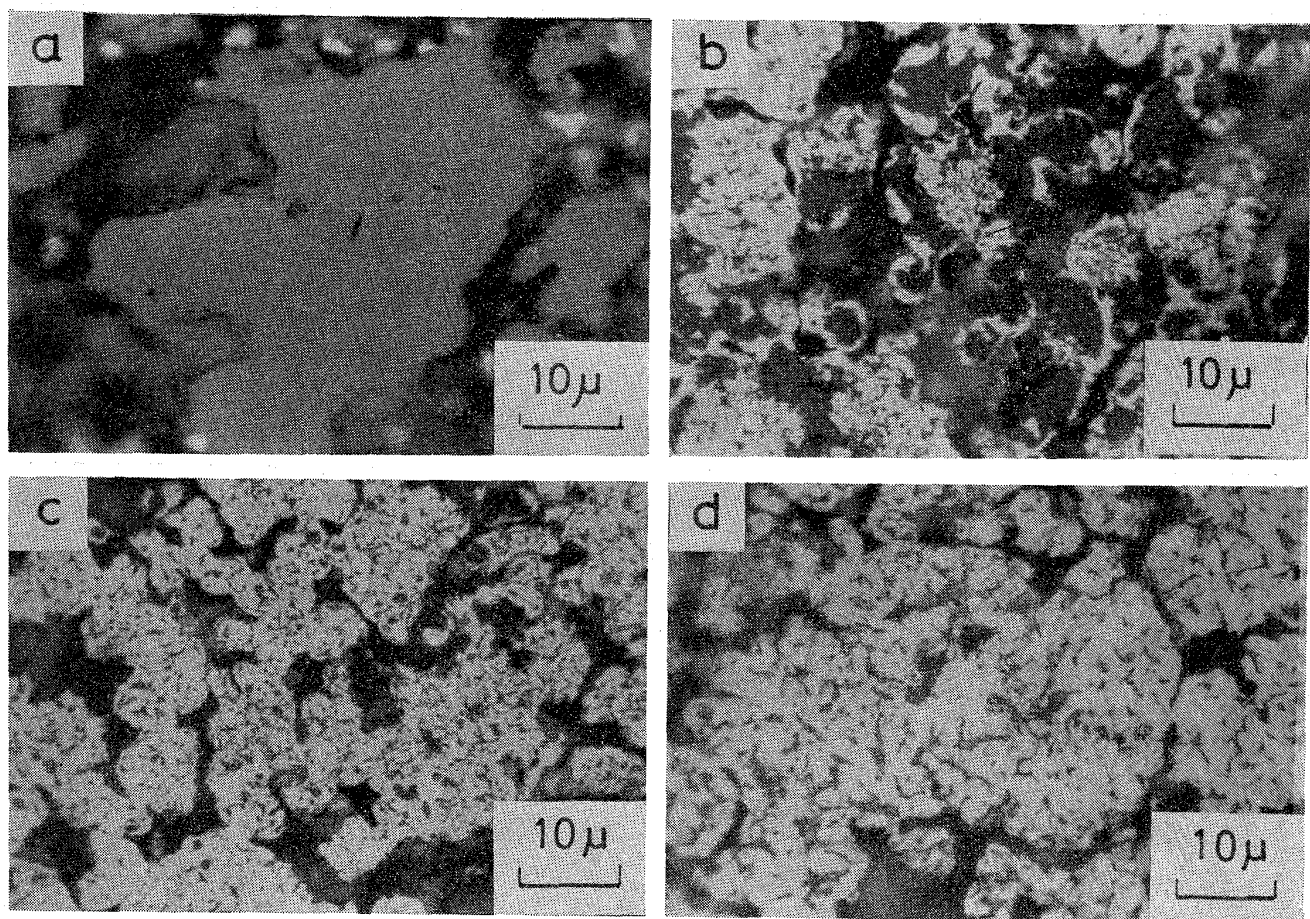


Photo. 3. Cross sections of partially reduced magnetite containing 7.3 mol% CaO, (a)-(c) reduced at 795°C by H<sub>2</sub> (Reduction degree : 39%) : (a) wustite (b) wustite and metallic iron (c) metallic iron, (d) reduced at 985°C by H<sub>2</sub> (Reduction degree : 51%), showing metallic iron.

して挙げられる。

Al<sub>2</sub>O<sub>3</sub>を固溶した試料を985°C, 95%CO-5%CO<sub>2</sub>で還元したところ、H<sub>2</sub>で還元するより、析出物の大きさが明らかに大きかつた(Photo. 2-e).

#### 2.4 マグネタイトからの還元鉄の気孔径分布、ウスタイト粒の還元に及ぼすCaO, Al<sub>2</sub>O<sub>3</sub>の影響とヘマタイトからのその比較

2.3節までに述べて来たように、Al<sub>2</sub>O<sub>3</sub>を固溶したマグネタイトからの還元鉄の気孔径は、これを添加したヘマタイトからの還元鉄と同様に、Al<sub>2</sub>O<sub>3</sub>の添加量の増加とともに小さくなる。

また、CaOを固溶したマグネタイトからの還元鉄の気孔径はこれを添加したヘマタイトからの還元鉄と同様に、CaOの添加量の増加とともに大きくなる。

すなわち、マグネタイトへのAl<sub>2</sub>O<sub>3</sub>, CaOの添加は、ヘマタイトへの添加と同様の作用を還元鉄の気孔径に及ぼす。

また、顕微鏡組織の観察結果によれば、Al<sub>2</sub>O<sub>3</sub>, CaO

を固溶したマグネタイトからのウスタイト粒は非トポケミカルに還元され、Al<sub>2</sub>O<sub>3</sub>, CaOを添加したヘマタイトからのウスタイト粒の還元と同じである。

#### 3. ウスタイトからの還元鉄の気孔径分布に及ぼすCaO, Al<sub>2</sub>O<sub>3</sub>, MgOの影響

##### 3.1 試料および実験方法

前報<sup>6)</sup>で使用したFe<sub>2</sub>O<sub>3</sub>を1000°Cで50%CO-50%CO<sub>2</sub>混合ガスで還元したウスタイトを使用した。200 mesh以下のウスタイトに(Fe原子の数とCa, AlあるいはMg原子の数の比が、2.5, 5.0 mol%CaO, Al<sub>2</sub>O<sub>3</sub>あるいはMgO-Fe<sub>2</sub>O<sub>3</sub>に相当する)1.17 mol%, 2.37 mol%のCaO, Al<sub>2</sub>O<sub>3</sub>あるいはMgOを加え、乳鉢中で約30 min混合粉碎し、水造粒したものを乾燥し1000°Cで50%CO-50%CO<sub>2</sub>混合ガスで5 h焼成した。試料重量は1.37~1.48 gで半径は0.42~0.45 cmである。

このようにして製造した試料のウスタイトの格子定数

を Fig. 6 に示した。 $\text{CaO}$  を添加した試料では添加量とともに直線的に増加し、 $\text{Al}_2\text{O}_3$  を添加した試料では、1.17, 2.37 mol% とも、pure ウスタイトより小さい同値となつた。 $\text{CaO}$  は添加した全量が固溶し、 $\text{Al}_2\text{O}_3$  の溶解度<sup>8)</sup> は非常に小さいので過飽和となつてゐる。

これらの試料を 795°C と 985°C で  $\text{H}_2$  により還元

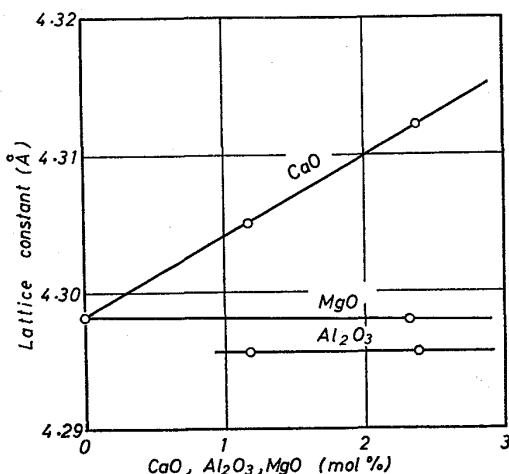


Fig. 6. Lattice constants of wustite and wustite containing  $\text{CaO}$ ,  $\text{Al}_2\text{O}_3$  and  $\text{MgO}$ .

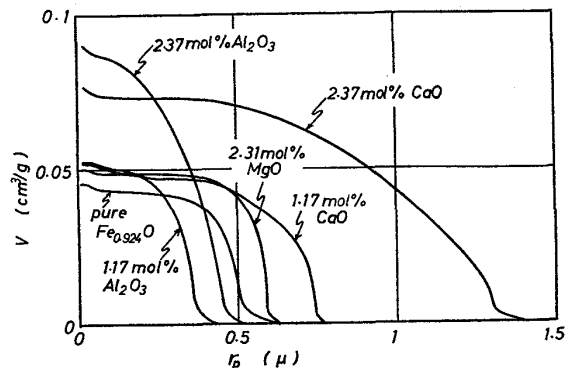


Fig. 7. Pore-radius distributions of wustite and wustite containing  $\text{CaO}$ ,  $\text{Al}_2\text{O}_3$  and  $\text{MgO}$ .

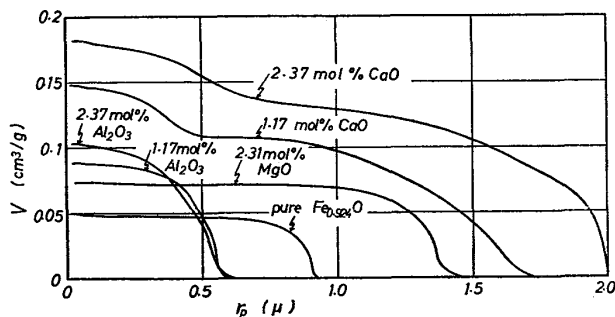


Fig. 8. Effects of  $\text{CaO}$ ,  $\text{Al}_2\text{O}_3$  and  $\text{MgO}$  on the pore-radius distributions of reduced (at 795°C by  $\text{H}_2$ ) iron from wustite.

した。その他の実験法は 2・1 節と同様である。

### 3・2 気孔径分布の測定結果

Fig. 7 に示した還元前の試料の気孔径分布によれば、 $\text{CaO}$  を固溶した試料は添加量とともに気孔径、気孔容積とも明白に大きくなる。 $\text{Al}_2\text{O}_3$  を添加した試料も添加量とともに気孔容積は明白に大きくなり、気孔径はやや小さくなる。純粋なウスタイト、 $\text{MgO}$  を固溶した試料中の気孔の半径は  $0.5 \sim 0.6 \mu$  で、 $\text{Al}_2\text{O}_3$  を添加した試料と  $\text{CaO}$  を固溶した試料の中間にある。

795°C で還元した還元鉄の気孔径分布と添加酸化物の種類と量の関係 (Fig. 8) をみると、 $\text{CaO}$  量の増加とともに気孔径が大きくなるのに対して、 $\text{Al}_2\text{O}_3$  量によつては気孔径はほとんど影響されない。とくに  $\text{Al}_2\text{O}_3$  を添加した試料からの還元鉄の気孔径は純粋なウスタイト試料からの還元鉄のそれより小さいけれども、還元前の  $\text{Al}_2\text{O}_3$  を添加した試料の気孔径ならびに還元による試料の収縮が、純粋なウスタイトのそれより小さいことが原因と考えられる。

また  $\text{CaO}$  を固溶した試料からの還元鉄には半径が  $0.5 \mu$  前後の比較的径の小さい気孔も生成していることも注目される。この現象は  $\text{CaO}$  を固溶したマグネタイト試料からの還元鉄にもみられたがウスタイトのときの方が径の小さい気孔の容積が大きい。

ウスタイトからの還元鉄は、ヘマタイトやマグネタイトからのそれと違つて、 $\text{Al}_2\text{O}_3$  の添加によつても I 型の気孔分布をとる。しかし、 $\text{CaO}$  の添加によつてヘマタイトからの還元鉄と違つて II 型の気孔径分布をとる。純粋なウスタイト、 $\text{MgO}$  を固溶した試料からの還元鉄はヘマタイト、マグネタイトからのそれと同様に、I 型の気孔径分布をとる。

985°C で還元した還元鉄の気孔径分布 (Fig. 9) によれば、 $\text{CaO}$  が気孔径、気孔容積とも大きくする作用が

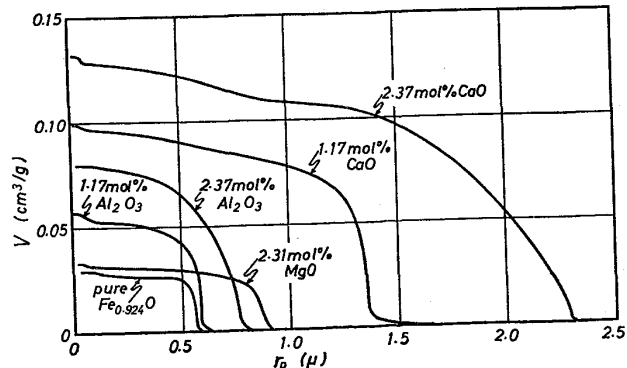


Fig. 9. Effects of  $\text{CaO}$ ,  $\text{Al}_2\text{O}_3$  and  $\text{MgO}$  on the pore-radius distributions of reduced (at 985°C by  $\text{H}_2$ ) iron from wustite.

明瞭であり、 $\text{Al}_2\text{O}_3$ に気孔径を小さくする作用がないことも明らかである。すなわち $\text{Al}_2\text{O}_3$ を添加した試料からの還元鉄の気孔径は純粋なウスタイト試料からのそれよ

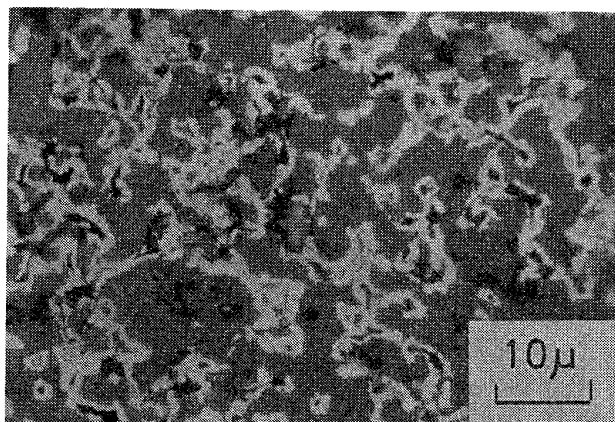


Photo. 4. A cross section of partially reduced pure wustite at 795°C by  $\text{H}_2$  (Reduction degree: 36%), showing wustite and metallic iron shell.

り大きい。

### 3.3 気孔生成過程の顕微鏡観察

795°Cで $\text{H}_2$ により部分還元した試料の断面の組織のうちウスタイト粒の還元過程の写真を Photo. 4~7 に示した。2.37 mol% $\text{Al}_2\text{O}_3$ を添加した試料のウスタイト粒 (Photo. 5-a) は小さいが 2.37 mol% $\text{CaO}$ を固溶したウスタイト粒 (Photo. 6-b) は大きい。純粋なウスタイト、2.31 mol% $\text{MgO}$ を固溶した試料からのウスタイト粒の大きさは両者の中間にある。これらの事実は気孔径分布 (Fig. 7) と一致する。

$\text{CaO}$ を固溶したウスタイト試料を部分還元したもの断面の肉眼観察によれば、反応界面はシャープであり、トポケミカルに還元が進行している。個々のウスタイト粒は Photo. 6 に見られるように金属鉄殻を生成するのでなく、最初に還元の始まつた表面からの還元が他の表面からの還元に優先される。この観察結果は  $\text{CaO}$ を添加したヘマタイト、マグнетタイトと一致している。

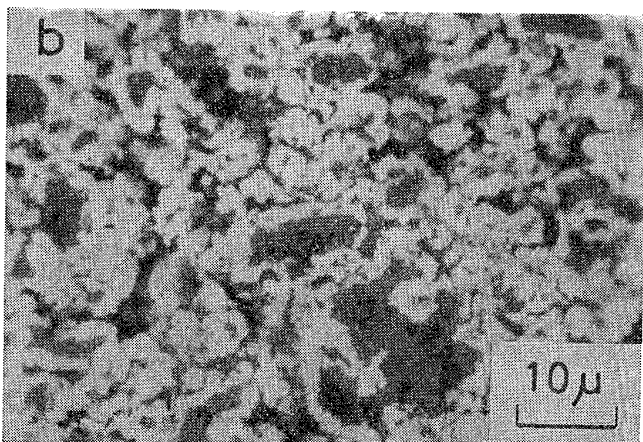
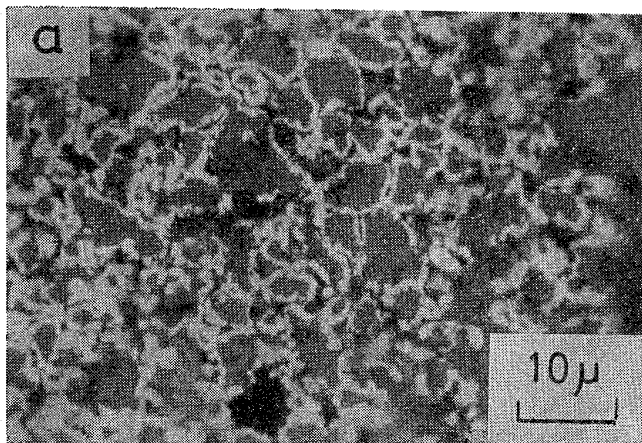


Photo. 5. Cross sections of partially reduced wustite containing 2.37 mol%  $\text{Al}_2\text{O}_3$  at 795°C by  $\text{H}_2$  (Reduction degree: 35%), (a) wustite and metallic iron (b) metallic iron.

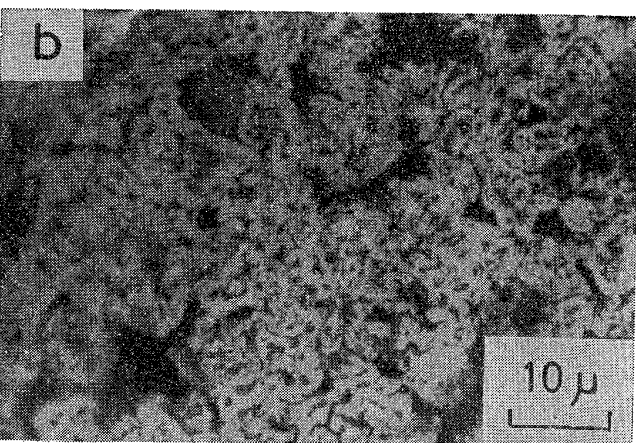
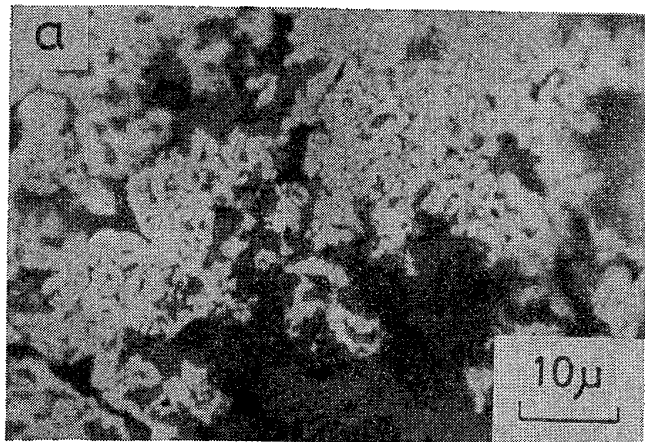


Photo. 6. Cross sections of partially reduced wustite containing 2.37 mol%  $\text{CaO}$  at 795°C by  $\text{H}_2$  (Reduction degree: 46%), (a) wustite and metallic iron (b) metallic iron.

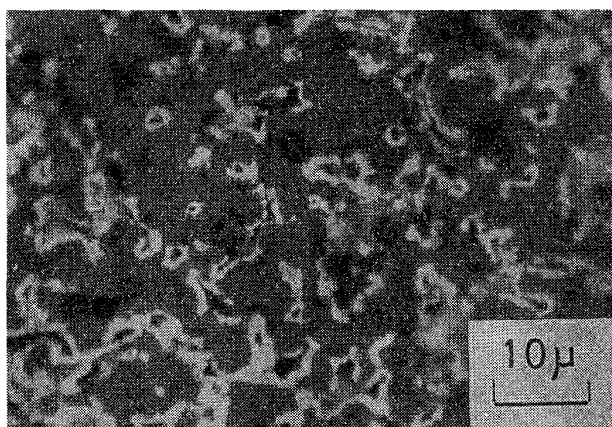


Photo. 7. A cross section of partially reduced wustite containing 2.31 mol%  $\text{MgO}$  at 795°C by  $\text{H}_2$  (Reduction degree : 31%), showing wustite and metallic iron shell.

一方,  $\text{Al}_2\text{O}_3$  を添加したウスタイト試料を部分還元したもののは断面の肉眼観察によれば, はつきりした反応界面はみられない。個々のウスタイト粒には金属鉄殻が生成される (Photo. 5)。これは  $\text{Al}_2\text{O}_3$  を固溶したヘマタイト, マグネットタイトと異なる。

$\text{CaO}$  を固溶したウスタイトから生成した金属鉄粒には内部に多くの片状気孔が観察される (Photo. 6-b)。さらに還元が進んでもこの片状気孔の幅は拡がらない。この還元挙動は  $\text{CaO}$  を添加したヘマタイト,  $\text{CaO}$  を固溶したマグネットタイトの還元によつて生成されたウスタイトの還元と同じである。

$\text{MgO}$  を固溶したウスタイト, 純粹なウスタイト試料からのウスタイト粒の表面には,  $\text{Al}_2\text{O}_3$  を添加したときと同様に還元によつて金属鉄殻が形成されるとそれ以上還元が進行しにくいため表面に均一な厚さの金属鉄殻が形成される (Photo. 4, 5, 7)。

$\text{CaO}$  を固溶したウスタイト粒から生成された金属鉄粒中にみられる片状気孔は還元鉄の気孔径分布の半径約  $0.5\mu$  の気孔に対応している。

### 3.4 ウスタイトからの還元鉄の気孔径分布, ウスタイト粒の還元に及ぼす $\text{CaO}$ , $\text{Al}_2\text{O}_3$ , $\text{MgO}$ の影響とヘマタイト, マグネットタイトからのそれらとの比較

3.1~3.3節で述べた結果をみれば, ウスタイトに限率固溶する  $\text{CaO}$  が, ウスタイトに添加され固溶すれば, そのウスタイト粒は非トポケミカルに還元される。そして  $\text{CaO}$  の添加量の増加とともに, その還元速度は速くなり, 還元鉄の気孔径はだいに大きくなる。これらの還元速度, 還元鉄の気孔径に及ぼす  $\text{CaO}$  の作用は, ヘマタイト, マグネットタイトに  $\text{CaO}$  が添加されたときにみ

られたものと同じである。

一方, ウスタイトにほとんど固溶しない (特に 795°C で)  $\text{Al}_2\text{O}_3$  がウスタイトに添加されれば, そのウスタイト粒はトポケミカルに還元され, 表面に金属鉄殻が生成される。そして還元鉄中に気孔半径が  $0.1\mu$  程度のミクロな気孔は生成されず, かつ還元による試料の収縮を防止する作用もない。還元速度を速くする作用も弱い。これらの作用はすべて, ヘマタイト, マグネットタイトに  $\text{Al}_2\text{O}_3$  を添加したときにみられた作用と異なり, 純粹なウスタイトの還元においてみられる現象に近い。

また, ウスタイトと全率固溶体を生成する  $\text{MgO}$  をウスタイトに添加したとき, ウスタイト粒はトポケミカルに還元され, 表面に金属鉄殻が生成される。そして, 還元速度は遅く, 還元による試料の収縮を防止する作用もない。これらはヘマタイトに  $\text{MgO}$  を添加したときと同じである。

## 4. 考 察

前報<sup>6)</sup>では, それぞれの酸化鉄への添加酸化物の溶解特性 (溶解度, 限率固溶体か全率固溶体かなど) によって, ヘマタイトからの還元鉄の気孔径分布に及ぼす添加酸化物の影響を分類した。

そして, マグネットタイトを出発物質としたときには, それからの還元鉄の気孔径分布に及ぼす  $\text{CaO}$ ,  $\text{Al}_2\text{O}_3$  の影響はヘマタイトを出発物質としたときのそれらの影響と同じであることが実験結果から分つた。

しかし, ウスタイトを出発物質としたときには, それからの還元鉄の気孔径分布に及ぼす  $\text{CaO}$ ,  $\text{Al}_2\text{O}_3$  の影響は, ヘマタイト, マグネットタイトを出発物質としたときのそれらの影響と  $\text{CaO}$  については同じであるが,  $\text{Al}_2\text{O}_3$  については異なることが実験結果から分つた。

すなわち,  $\text{Al}_2\text{O}_3$  はそれを添加するときの出発時の酸化鉄によつて, 還元鉄の気孔径分布に及ぼす作用が異なるが,  $\text{CaO}$  はそれを添加するときの出発時の酸化鉄によらず, 還元鉄の気孔径分布に及ぼす作用は同じである。

したがつて還元鉄の気孔径分布に及ぼす添加酸化物の作用は, それが持つている触媒作用などの本質的な化学的作用と考えることはできず, 酸化鉄の還元のときに起こる, 添加酸化物と酸化鉄との間の物理的な現象によつて引き起こされると考えるのが妥当であることを実験結果は示している。これについてさらに具体的に考察する。

以下に  $\text{FeO}-\text{Fe}_2\text{O}_3$ - (添加酸化物) 3 元系等温平衡状態図に基づいて, 試料の還元に伴う相変化について述べる。

Fig. 10~12 に  $\text{FeO}-\text{Fe}_2\text{O}_3$ - ( $\text{Al}_2\text{O}_3$ <sup>8)</sup>,  $\text{CaO}$ <sup>7,9)~11)</sup> あ

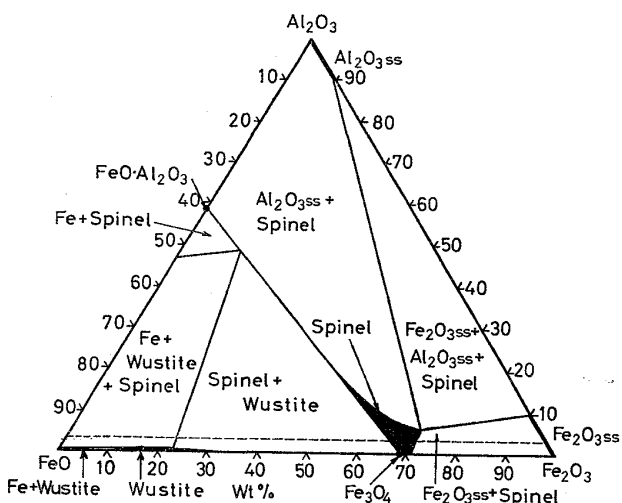


Fig. 10. Phase relations in  $\text{FeO}-\text{Fe}_2\text{O}_3-\text{Al}_2\text{O}_3$  system at  $1000^\circ\text{C}$ . The dotted line shows the reduction path of 5.0 mol%  $\text{Al}_2\text{O}_3-\text{Fe}_2\text{O}_3$ , 7.3 mol%  $\text{Al}_2\text{O}_3-\text{Fe}_3\text{O}_4$  and 2.37 mol%  $\text{Al}_2\text{O}_3-\text{Fe}_{0.924}\text{O}$ .

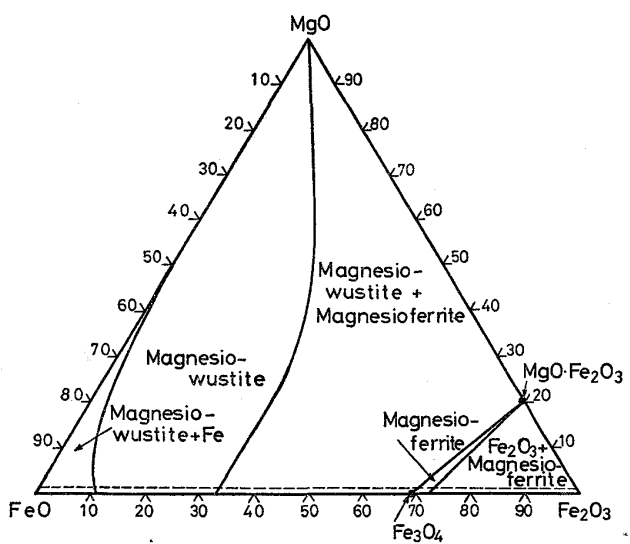


Fig. 12. Phase relations in  $\text{FeO}-\text{Fe}_2\text{O}_3-\text{MgO}$  system at  $1160^\circ\text{C}$ . The dotted line shows the reduction path of 5.0 mol%  $\text{MgO}-\text{Fe}_2\text{O}_3$  and 2.31 mol%  $\text{MgO}-\text{Fe}_{0.924}\text{O}$ .

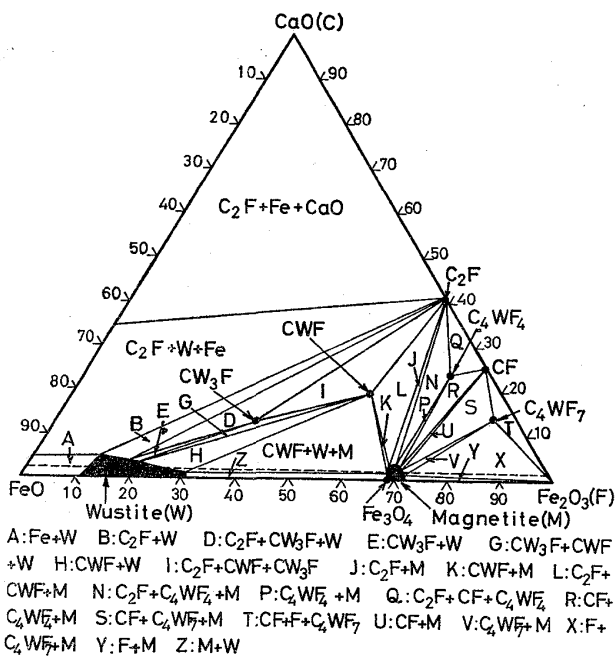


Fig. 11. Phase relations in the  $\text{FeO}-\text{Fe}_2\text{O}_3-\text{CaO}$  system at  $1000^\circ\text{C}$  (magnetite field was represented at  $1147^\circ\text{C}$ ). The dotted line shows the reduction path of 5.0 mol%  $\text{CaO}-\text{Fe}_2\text{O}_3$ , 7.3 mol%  $\text{CaO}-\text{Fe}_3\text{O}_4$  and 2.37 mol%  $\text{CaO}-\text{Fe}_{0.924}\text{O}$ .

るいは  $\text{MgO}^{12})$  3元系の  $1000^\circ\text{C}$  近傍における等温平衡状態図を示した。図中には 5.0 mol%  $\text{Al}_2\text{O}_3$ ,  $\text{CaO}$  あるいは  $\text{MgO}-\text{Fe}_2\text{O}_3$  試料の還元経過を破線で示した。7.3 mol% の添加酸化物を含むマグネタイト, 2.37 mol% の添加酸化物を含むウスタイトの還元は図中の破線の途中から始まる。

破線で示した還元経過に沿つて添加酸化物の挙動をみ

ると,  $\text{Al}_2\text{O}_3$ ,  $\text{CaO}$  については、いつたん酸化鉄に固溶した添加酸化物が、その酸化鉄の還元に伴つて、酸化鉄との複合酸化物となつて酸化鉄中に析出する現象が起こる。この析出物は酸化鉄内の拡散過程を経て生成され、その速度が遅いため、小さい析出物として酸化鉄中に存在する。

ここで、試料中の添加酸化物の全量に対する析出物中の添加酸化物量の比  $w$  を、各添加酸化物についてそれを添加する酸化鉄の種類に応じて求めるとつきのようになる。

$$\text{Al}_2\text{O}_3 \text{を } \begin{cases} \text{マグネタイト} \\ \text{ウスタイト} \end{cases} \text{に添加} \rightarrow \begin{cases} w=1 \\ w=0 \end{cases}$$

$$\text{CaO} \text{を } \begin{cases} \text{マグネタイト} \\ \text{ウスタイト} \end{cases} \text{に添加} \rightarrow \begin{cases} w=1 \\ w=1 \end{cases}$$

$$\text{MgO} \text{を } \begin{cases} \text{マグネタイト} \\ \text{ウスタイト} \end{cases} \text{に添加} \rightarrow \begin{cases} w=0 \\ w=0 \end{cases}$$

還元鉄の気孔を微細化する  $\text{Al}_2\text{O}_3$  の作用がいつたん固溶したのち酸化鉄中に生じた析出物によつてもたらされるとすれば、マグネタイトに  $\text{Al}_2\text{O}_3$  を添加したときには  $w=1$  であるからその作用が強く、ウスタイトに  $\text{Al}_2\text{O}_3$  を添加したときには  $w=0$  であるからその作用はほとんど現われない。

$\text{CaO}$  はマグネタイト、ウスタイトのいずれに添加しても  $w=1$  であるから、還元鉄の気孔径を大きくし、ウスタイト粒を非トポケミカルに還元する  $\text{CaO}$  の作用がみられる。

$\text{MgO}$  は析出物を全く生じないため、還元鉄の気孔径、

ウスタイト粒の還元経過とも純粹なマグネタイト、ウスタイトと変わらないものと推定される。

還元鉄の特性に及ぼす添加酸化物の影響についてはこれまでほとんど研究されておらず、わずかに緒言において示した結果があるのみである。それらのうち触媒における研究では、Al<sub>2</sub>O<sub>3</sub>, Cr<sub>2</sub>O<sub>3</sub>を添加した酸化鉄の還元によって生成した還元鉄が高い触媒活性を示すのは、これらが金属鉄の焼結を防止するためであろうと述べられている。また、CaOについてはこれを含む酸化鉄を還元すれば塊状の金属鉄が生成されることが示されており著者らの実験結果と一致している。しかし、その原因にまで遡つて言及したものは見られない。

従来のこれらの考え方では、本研究における実験結果特に、添加酸化物を添加する酸化鉄によってその作用が異なるような実験結果は解釈に窮する。

## 5. 結論

マグネタイト、ウスタイトを還元した還元鉄の気孔の大きさ、ウスタイト粒の還元に及ぼす添加酸化物 (CaO, Al<sub>2</sub>O<sub>3</sub>, MgO) の影響を調べた。

その結果、マグネタイトにAl<sub>2</sub>O<sub>3</sub>を固溶させれば、ヘマタイトにAl<sub>2</sub>O<sub>3</sub>を固溶させたときと同様に、ウスタイト粒は非トポケミカルに還元され還元鉄の気孔径を小さくするが、ウスタイトにAl<sub>2</sub>O<sub>3</sub>を添加してもウスタイト粒はトポケミカルに還元され、還元鉄の気孔径を小さくする作用はない。

一方、マグネタイト、ウスタイトのいずれに CaO が固溶しても、ヘマタイトに CaO を添加したときと同様に、ウスタイト粒は非トポケミカルに還元され、還元鉄の気孔径を大きくする作用がある。

そして還元鉄の気孔径分布に及ぼす添加酸化物の作用

は酸化鉄が還元されるときに、添加酸化物と酸化鉄との複合酸化物が酸化鉄中に析出することによつてもたらされるとの考えを提出した。

これによつて、従来不明であつた、還元鉄の組織、気孔の大きさに及ぼす共存(脈石)酸化物の影響を定性的ながら明らかにすることができた。

終りに、水銀ボロシメーターの使用の便宜を取計つて頂いた名古屋大学工学部化学工学科白戸紋平教授に感謝の意を表します。

また、本研究の一部を担当した当時学生の高橋賢次君に感謝する。

## 文 献

- 1) B. ILSCHNER : Z. Metallk, 55(1964), p. 153
- 2) 藤堂尚之: 元素別触媒便覧(斯波編), 触媒工学講座 10(1967), p. 421 [地人書館]
- 3) 井上博文, 桐谷利信, 高橋愛和: 東北大学選鉱製錬研究所彙報, 31(1975), p. 118
- 4) 井上博文, 桐谷利信, 高橋愛和: 東北大学選鉱製錬研究所彙報, 31(1975), p. 127
- 5) R. PIEPENBROCK, K. KOCH, G. TRÖMEL, and W. FIX : Arch. Eisenhüttenw., 47 (1976), p. 141
- 6) 井口義章, 飯田真喜男, 井上道雄: 鉄と鋼, 65 (1971) 1
- 7) J. BERGGREN : Scand. J. Met., 4(1975), p. 140
- 8) L. M. ATLAS and W. K. SUMIDA : J. Amer. Ceram. Soc., 41(1958), p. 150
- 9) E. SCHÜRMANN and P. WURM : Arch. Eisenhüttenw., 44(1973), p. 637
- 10) A. MUAN and E. F. OSBORN : Phase Equilibria among oxides in Steelmaking, p. 52(1965), [Addison-Wesley]
- 11) B. PHILIPS and A. MUAN : Trans. Met. Soc. AIME, 218(1960), p. 1112
- 12) D. H. SPEIDEL : J. Amer. Ceram. Soc., 50(1967) p. 243